



Giovanna

Carlomagno A., Ferrandino A., Kedrina O., Ruffa P., Raimondi S., Novello V. (2014) - Giovanna. In: Italian Vitis Database, www.vitisdb.it, ISSN 2282-006X
 release 13/07/2015, ultimo aggiorn. 13/07/2015 url <http://vitisdb.it/accessions/show/15925>

Informazioni gestite da

Dipartimento di Scienze Agrarie, Forestali e Alimentari - Università degli Studi di Torino

Ringraziamenti

Ager-IVD; Istituto di Istruzione Superiore di Stato 'Umberto I' - Alba (CN)

Informazioni generali

nome Giovanna **codice** ITA424-047
nazione di selezione Italia **regione di selezione** Piemonte
provincia di selezione non disponibile **località di selezione** non disponibile
istituzione custode Dipartimento di Scienze Agrarie, Forestali e Alimentari - Università degli Studi di Torino
collezione Campo collezione Ampelion - Alba (CN)

Varietà & clone

tipo di origine incrocio intraspecifico **genere** Vitis
specie Vitis vinifera **sub specie** sativa
varietà Giovanna **codice della varietà** IVD-var_284
clone non disponibile
trueness to type accertato con rilievi morfologici e microsatelliti

Trueness to type

True-name

confermato **si**

Trueness to type accertato con rilievi morfologici (ampelografici)

accertamento con rilievi morfologici (ampelografici) **accertato**

Trueness to type accertato con microsatelliti

accertamento con microsatelliti **accertato**

loci confrontati n.d.

loci identici n.d.

discrepanze n.d.

Profilo microsatellite standardizzato

| loci: | loci predefiniti (9) | | | | | | | | | | | | | | | | | |
|-------------|------------------------|-----|-------|-----|-------|-----|--------|-----|---------|-----|---------|-----|--------|-----|--------|-----|--------|-----|
| locus SSR: | VVS2 | | VVMD5 | | VVMD7 | | VVMD27 | | VrZAG62 | | VrZAG79 | | VVMD25 | | VVMD28 | | VVMD32 | |
| allele: | A1 | A2 | A1 | A2 | A1 | A2 | A1 | A2 | A1 | A2 | A1 | A2 | A1 | A2 | A1 | A2 | A1 | A2 |
| dimensione: | 135 | 143 | 231 | 237 | 233 | 249 | 179 | 195 | 186 | 196 | 243 | 255 | 256 | 256 | 247 | 247 | 273 | 273 |

Immagini



germoglio



foglia



foglia pagina superiore



foglia pagina inferiore



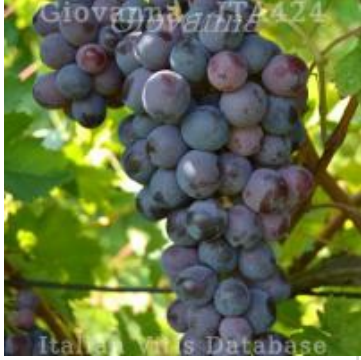
grappolo



acino

Ampelografia

| OIV | descrizione | valore | | immagini |
|-------|--|-------------|--|----------|
| | | | | |
| 004 | Giovane germoglio: densità dei peli striscianti dell'apice | 1 / 3 | nulla o molto bassa / bassa | |
| 007 | Germoglio: colore del lato dorsale degli internodi | 2 | verde e rosso | |
| 008 | Germoglio: colore del lato ventrale degli internodi | 1 | verde | |
| 016 | Germoglio: numero di viticci consecutivi | 1 | 2 o meno | |
| 051 | Foglia giovane: colore della pagina superiore del lembo (4 a foglia) | 3 | bronzato | |
| 053 | Foglia giovane: densità peli striscianti tra le nervature principali della pagina inferiore (4a foglia) | 3 | bassa | |
| 067 | Foglia adulta: forma del lembo | 3 / 2 | pentagonale / cuneiforme | |
| 068 | Foglia adulta: numero dei lobi | 2 / 3 | tre / cinque | |
| 070 | Foglia adulta: distribuzione pigmentazione antocianica nervature principali pagina superiore | 1 / 3 | assente / fino alla 1a biforcazione | |
| 075 | Foglia adulta: bollosità della pagina superiore del lembo | 3 | bassa | |
| 076 | Foglia adulta: forma dei denti | 3 / 5 | entrambi i lati convessi / misto tra entrambi i lati rettilinei (livello 2) e entrambi i lati convessi (livello 3) | |
| 079 | Foglia adulta: grado di apertura / sovrapposizione dei bordi del seno peziolare | 3 / 7 (Ø 5) | aperto / sovrapposto | |
| 080 | Foglia adulta: forma della base del seno peziolare | 3 / 2 | a V / a parentesi graffa (f) | |
| 081-1 | Foglia adulta: denti del seno peziolare | 1 | assenti | |
| 081-2 | Foglia adulta: base del seno peziolare delimitata dalla nervatura | 1 | non delimitata | |
| 083-2 | Foglia adulta: denti nei seni laterali superiori | 9 | presenti | |
| 084 | Foglia adulta: densità dei peli striscianti tra le nervature principali sulla pagina inferiore del lembo | 3 / 5 | bassa / media | |
| 087 | Foglia adulta: densità dei peli eretti sulle nervature principali della pagina inferiore del lembo | 5 | media | |
| 151 | Fiore: organi sessuali | 3 | stami completamente sviluppati e gineceo completamente sviluppato | |

| | | | | |
|-----|---|-------|----------------------------|---|
| 155 | Tralcio: fertilità delle gemme basali (gemme 1-3) | 1 | molto bassa (<0,5) |  |
| 202 | Grappolo: lunghezza (escluso il peduncolo) | 7 / 5 | lungo / medio | |
| 204 | Grappolo: compattezza | 3 / 5 | spargolo / medio | |
| 208 | Grappolo: forma | 2 | conico | |
| 220 | Acino: lunghezza | 5 / 7 | medio / lungo |  |
| 221 | Acino: larghezza | 5 / 7 | medio / largo | |
| 223 | Acino: forma | 2 / 6 | sferoidale / troncovoidale | |
| 225 | Acino: colore della buccia | 5 | rosso scuro violetto | |
| 236 | Acino: particolarità dell'aroma | 2 | aroma moscato | |
| 241 | Acino: sviluppo dei vinaccioli | 3 | completo | |

Note ampelografiche

Nelle piante osservate la cultivar in questione presenta generalmente lobo mediano molto allungato, il profilo del lembo si presenta leggermente a coppa od a gronda. La base del seno peziolare è talvolta a graffa asimmetrica ma più frequentemente a V.

La polpa della bacca risulta essere debolmente soda e generalmente contiene un solo vinacciolo

Ampelometria**OIV**

nessun descrittore presente per Giovanna

Superampelo

| distanze | | |
|---|---------|---------------------|
| descrittore | valore | deviazione standard |
| Distanza tra estremità di N2 e estremità della prima ramificazione laterale di N2 | 52.790 | 23.009 |
| Distanza tra estremità di N2' e estremità della prima ramificazione laterale di N2' | 58.190 | 16.211 |
| Distanza dal seno peziolare al seno inferiore destro | 25.320 | 7.544 |
| Distanza dal seno peziolare al seno inferiore sinistro | 26.730 | 6.767 |
| Distanza dal seno peziolare al seno superiore destro | 25.350 | 6.285 |
| Distanza dal seno peziolare al seno superiore sinistro | 24.280 | 5.503 |
| Nervatura N3, lunghezza dal seno peziolare alla nervatura N4 | 13.550 | 3.333 |
| Nervatura N3', lunghezza dal seno peziolare alla nervatura N4' | 12.850 | 2.604 |
| Lunghezza della nervatura N5 | 10.360 | 3.937 |
| Lunghezza della nervatura N5' | 11.050 | 2.726 |
| Lunghezza della nervatura N4 | 29.630 | 8.352 |
| Lunghezza della nervatura N4' | 31.550 | 5.313 |
| Larghezza della foglia | 159.860 | 18.570 |
| Lunghezza della foglia | 163.210 | 13.768 |
| Lunghezza del picciolo | 92.650 | 9.520 |
| Lunghezza della foglia compreso il picciolo | 216.280 | 19.288 |
| Distanza tra gli estremi delle nervature N2 e N2' | 154.490 | 23.193 |
| Lunghezza della nervatura N1 | 123.650 | 11.680 |
| Distanza tra gli estremi delle nervature N4 e N4' | 39.960 | 13.593 |
| Distanza tra gli estremi delle nervature N3 e N3' | 116.710 | 22.264 |
| Lunghezza della nervatura N2 | 98.240 | 11.254 |
| Larghezza del seno peziolare / Distanza tra i punti SP e SP' | -15.630 | 7.998 |
| Lunghezza della nervatura N3 | 60.530 | 9.910 |
| Lunghezza della nervatura N2' | 100.279 | 13.149 |
| Lunghezza della nervatura N3' | 63.470 | 10.581 |

| angoli | | |
|--|--------|---------------------|
| descrittore | valore | deviazione standard |
| Angolo tra N1 e N2 misurato alla prima biforcazione | 65.400 | 7.704 |
| Angolo tra N2 e N3 misurato alla prima biforcazione | 59.660 | 6.484 |
| Angolo tra N1 e N2' misurato alla prima biforcazione | 63.670 | 6.881 |
| Angolo tra N3 e N4 alla prima biforcazione di N3 | 63.780 | 10.249 |
| Angolo tra N2' e N3' misurato alla prima biforcazione | 56.440 | 6.885 |
| Angolo tra N1 e N2 misurato agli estremi delle nervature | 51.100 | 15.860 |
| Angolo tra N3' e N4' | 61.080 | 7.451 |
| Angolo tra N2 e N3 misurato agli estremi delle nervature | 59.670 | 9.924 |
| Angolo tra N1 e N2' misurato agli estremi delle nervature | 53.460 | 7.674 |
| Angolo tra N3 e N4 misurato agli estremi delle nervature | 42.220 | 6.690 |
| Angolo tra N2' e N3' misurato agli estremi delle nervature | 54.350 | 9.532 |
| Angolo di apertura del seno peziolare misurato a SP e SP' | 47.340 | 21.699 |
| Angolo tra N3' e N4' misurato agli estremi delle nervature | 42.790 | 4.823 |
| Angolo tra S e S' con centro in N1 | 14.790 | 3.037 |
| Angolo tra D e D' con centro in N1 | 85.810 | 7.542 |
| Angolo tra I e I' con centro in N1 | 23.110 | 5.668 |

| rapporti | | |
|--|--------|---------------------|
| descrittore | valore | deviazione standard |
| Rapporto tra l'altezza e la base dei denti del lato sinistro | 0.612 | 0.075 |
| Rapporto tra l'altezza e la base dei denti del lato destro | 0.652 | 0.093 |
| Rapporto tra l'altezza e la base del dente all'estremità della nervatura N2' | 1.130 | 0.087 |
| Rapporto tra l'altezza e la base del dente all'estremità della nervatura N2 | 1.117 | 0.186 |
| Rapporto tra l'altezza e la base del dente all'estremità della nervatura N4 | 1.129 | 0.313 |
| Media della base dei denti del lato sinistro | 9.406 | 1.480 |
| Media della base dei denti del lato destro | 9.843 | 2.883 |
| Media dell'altezza dei denti del lato sinistro | 5.727 | 0.987 |
| Rapporto tra l'altezza e la base del dente all'estremità della nervatura N4' | 1.046 | 0.203 |
| Media dell'altezza dei denti del lato destro | 6.399 | 2.096 |
| Rapporto tra Lunghezza e larghezza della foglia | 1.026 | 0.070 |
| Rapporto tra la somma degli angoli a' + b' e la somma della distanza tra il seno peziolare e il seno superiore sinistro OS' e il seno peziolare e il seno inferiore sinistro OI' | 0.043 | 0.011 |
| Rapporto tra la somma degli angoli a + b e la somma della distanza tra il seno peziolare e il seno superiore destro OS e il seno peziolare e il seno inferiore destro OI | 0.046 | 0.015 |

Fenologia & produzione

| OIV | descrizione | valore | |
|-----|---|--------|---------------------------------------|
| | | | |
| 301 | Epoca di germogliamento | 5 / 7 | media / tardiva |
| 302 | Epoca di fioritura | 5 | media |
| 303 | Epoca d'inizio dell'invaiaatura | 5 | medio |
| 304 | Epoca di maturazione fisiologica dell'acino | 7 | tardiva |
| 351 | Vigoria del germoglio | 5 / 7 | media (70-80 g) / elevata (90-100 g) |
| 452 | Foglia: grado di resistenza alla Plasmopara | 5 | medio |
| 453 | Grappolo: grado di resistenza alla Plasmopara | 5 | medio |
| 455 | Foglia: grado di resistenza all'Oidio | 5 | medio |
| 456 | Grappolo: grado di resistenza all'Oidium | 5 | medio |
| 458 | Foglia: Grappolo: grado di resistenza alla Botrytis | 7 | elevato o molto elevato |
| 459 | Grappolo: grado di resistenza alla Botrytis | 9 | molto elevato |
| 501 | Percentuale di allegagione | 7 | elevata |
| 502 | Grappolo: peso di un grappolo | 3 / 5 | basso (250-350 g) / medio (450-550 g) |
| 503 | Acino: peso di un acino | 5 | medio (4,5-5,5 g) |
| 505 | Tenore in zucchero del mosto | 7 | elevato (20,2-21,8) |
| 506 | Acidità totale del mosto | 5 | media (8,2-9,8) |
| 508 | pH del mosto | 5 | medio (3,2-3,3) |

Vegeto-produttivo

| sesto di impianto e forma di allevamento | valore | deviazione standard | numero di anni |
|--|-----------------|---------------------|----------------|
| Forma di allevamento | Controspalliera | | |
| Sistema di potatura | | | |
| Distanza tra le file (m) | 2.000 | | |
| Distanza sulla fila (m) | 1.200 | | |

| vigore | valore | deviazione standard | numero di anni |
|---|--------|---------------------|----------------|
| Numero germogli/tralci per pianta (numero/pianta) | 6.670 | 0.940 | 2 |
| Numero germogli/tralci per metro di filare (numero/m) | 6.050 | 0.078 | 2 |
| Peso legno di potatura per pianta (kg) | 0.695 | 0.021 | 2 |
| Peso legno di potatura per metro di filare (kg) | 0.636 | 0.062 | 2 |

| fertilità | valore | deviazione standard | numero di anni |
|--|--------|---------------------|----------------|
| Numero infiorescenze per germoglio alla fioritura (numero/germoglio) | 0.680 | 0.453 | 2 |

| quantità produzione | valore | deviazione standard | numero di anni |
|---|---------|---------------------|----------------|
| Peso medio grappolo (g) | 277.390 | 55.557 | 2 |
| Numero grappoli per pianta (numero/pianta) | 4.320 | 2.383 | 2 |
| Numero grappoli per metro lineare (numero/m) | 4.100 | 2.693 | 2 |
| Produzione per pianta (kg/ceppo) | 1.260 | 0.901 | 2 |
| Produzione per metro di filare (kg/m) | 1.210 | 0.975 | 2 |
| Produzione per ettaro (t/ha) | 6.050 | 4.873 | 2 |
| Peso di 100 acini (g) | 493.700 | 21.830 | 2 |
| Diametro acino (media di 25 acini) - larghezza (mm) | 19.500 | 2.120 | 1 |
| Diametro acino (media di 25 acini) - lunghezza (mm) | 18.000 | 4.240 | 1 |

| qualità produzione | valore | deviazione standard | numero di anni |
|--------------------------------------|--------|---------------------|----------------|
| Polifenoli totali (g/kg) | 2.183 | 0.209 | 2 |
| Antociani totali bucce (g/kg) | 0.356 | 0.012 | 1 |
| Tenore in zucchero del mosto (°Brix) | 21.700 | 0.000 | 2 |
| pH (pH) | 3.280 | 0.180 | 2 |
| Acidità titolabile del mosto (g/l) | 5.860 | 1.070 | 2 |

Polifenoli uve

| antociani monoglucosidi | buccia (mg/kg) (dev.st) | vinacciolo (mg/kg) (dev.st) | polpa (mg/kg) (dev.st) |
|-----------------------------|-------------------------|-----------------------------|------------------------|
| cianidina-3-monoglucoside | 55.07 | | |
| delfinidina-3-monoglucoside | 20.32 | | |
| malvidina-3-monoglucoside | 111.21 | | |
| peonidina-3-monoglucoside | 116.79 | | |
| petunidina-3-monoglucoside | 24.62 | | |

| antociani acilati | buccia (mg/kg) (dev.st) | vinacciolo (mg/kg) (dev.st) | polpa (mg/kg) (dev.st) |
|--------------------------------------|-------------------------|-----------------------------|------------------------|
| cianidina monoglucoside p-cumarato | 3.97 | | |
| delfinidina monoglucoside acetato | 0.48 | | |
| delfinidina monoglucoside p-cumarato | 1.10 | | |
| malvidina monoglucoside acetato | 1.70 | | |
| malvidina monoglucoside caffeato | 1.00 | | |
| malvidina monoglucoside p-cumarato | 8.54 | | |
| peonidina monoglucoside acetato | 1.45 | | |
| peonidina monoglucoside p-cumarato | 8.72 | | |
| petunidina monoglucoside p-cumarato | 1.34 | | |

Aromi uve

nessun descrittore aromatico presente per Giovanna

Altri descr.

nessun "altro" descrittore disponibile per Giovanna

Bibliografia correlata (3)

| autori | anno | titolo | rivista | citazione |
|------------------------------------|------|---|--------------------------|--|
| Dalmasso G. | | Quaderno degli Incroci ad uva da tavola (Manoscritto) | | Dalmasso G., Quaderno degli Incroci ad uva da tavola (Manoscritto) |
| Novello V., Occeci P., de Palma L. | 1995 | Comportamento di nuove uve da tavola in Puglia | Rivista di Frutticoltura | Vol. 5: 39-45: |
| Eynard I. e Dalmasso G. | 1991 | Viticultura Moderna. Manuale pratico | | Ulrico Hoepli Editore (IX edizione) |

Accessioni della medesima varietà (1)

- Giovanna - Dipartimento di Scienze Agrarie, Forestali e Alimentari - Università degli Studi di Torino